

01;07

Расчет тепловой волны поглощения лазерного излучения в волоконном световоде на основе двумерного нестационарного уравнения теплопроводности

© Р.И. Голятина, А.Н. Ткачев, С.И. Яковленко

Институт общей физики им. А.М. Прохорова РАН,
119991 Москва, Россия

(Поступило в Редакцию 2 июня 2004 г.)

Тепловая волна поглощения лазерного излучения в сердцевине лазерного световода исследована на основе нестационарного двумерного уравнения теплопроводности. Вычислены скорости распространения волны как функции интенсивности лазерного излучения, а также пороговые значения интенсивности, при которых возникает волна прогрева. Показано, что скорость волны при больших интенсивностях качественно описывается известной из теории горения формулой и пропорциональна квадратному корню из интенсивности излучения. Пороговые значения интенсивности лазерного излучения, полученные в расчетах, хорошо согласуются с имеющимися экспериментальными данными.

Введение

Эффект резкого изменения мощным лазерным излучением физических параметров прозрачного конденсированного вещества известен давно [1]. В частности, при превышении интенсивностью лазерного излучения некоторого порогового значения резко повышается коэффициент поглощения излучения. Это приводит при оптических разрядах в конденсированной среде [2,3] и в газе [4] к распространению волны поглощения навстречу лазерному излучению.

В последние годы большой интерес возник к явлению такого рода в волоконных световодах [5–15]. Если на каком-либо участке волокна повышен коэффициент поглощения, то в этом месте происходит нагрев, который приводит к дальнейшему повышению поглощения. Теплопроводность обеспечивает продвижение такой тепловой волны поглощения (ТВП) навстречу лазерному излучению.

ТВП ранее рассматривалась в упрощенном стационарном одномерном приближении в системе координат, движущейся со скоростью волны [7,8]. В данной работе ТВП рассматривается на основе двумерного нестационарного уравнения теплопроводности. Рассмотрены зависимости скорости движения ТВП от интенсивности излучения и определены пороговые значения интенсивности излучения, при которой возникает ТВП.

Рассматриваемая модель

Уравнение теплопроводности. Нестационарная двумерная модель ТВП в цилиндрических координатах r, z в прямоугольной области $0 \leq r \leq r_1$, $0 \leq z \leq l$ (r_1 — внешний радиус световода, l — его длина) описывается двумя уравнениями: уравнением теплопро-

водности (1) и уравнением переноса излучения (2)

$$c_P(T)\rho(T) \frac{\partial}{\partial t} T(t, z, r) = \frac{\partial}{\partial z} \left[k(T) \frac{\partial}{\partial z} (T(t, z, r)) \right] + \frac{1}{r} \frac{\partial}{\partial r} \left[r \cdot k(T) \left(\frac{\partial}{\partial r} (T(t, z, r)) \right) \right] + \alpha(T)I(t, z, r), \quad (1)$$

$$\frac{\partial}{\partial z} I(z, r) = -\alpha(T)I(z, r). \quad (2)$$

Здесь z — координата вдоль волновода, r — координата по радиусу, $c_P(T)$ — удельная теплоемкость, I — интенсивность (плотность потока энергии) лазерного излучения, $\alpha(T)$ — коэффициент поглощения лазерного излучения, $k(T)$ — коэффициент теплопроводности, $\rho(T)$ — плотность вещества. Интенсивность зависит от времени неявным образом через температуру. Зависимость коэффициента поглощения от температуры была выбрана следующей:

$$\alpha(T) = \begin{cases} 0, & T < T_1, \\ \alpha_P(T - T_1)/(T_P - T_1), & T_1 \leq T \leq T_P, \\ \alpha_P, & T > T_P. \end{cases}$$

Здесь α_P — максимальное значение коэффициента поглощения; T_P — температура, при которой достигается это максимальное значение; T_1 — температура, при которой начинается быстрый рост коэффициента поглощения. Полагалось $(T_P - T_1) \ll T_P$, при этом от величины T_1 результаты расчетов практически не зависят. Исходя из данных работ [7,8] было положено $\alpha_P = 560 \text{ см}$, $T_P = 2000^\circ\text{C}$. Если существенно изменить величину α_P , то результаты расчетов не будут согласовываться с экспериментальными данными. Кроме того, было положено $T_1 = 1700^\circ\text{C}$.

Зависимость теплоемкости от температуры и от характеристик фазовых переходов представлялась в виде

$$c_P(T) = c_0(T) + \Delta c(T, T_m, \Delta T_m, \Delta H_m) + \Delta c(T, T_P, \Delta T_P, \Delta H_P).$$

Здесь $c_0(T)$ — функция, описывающая зависимость теплоемкости от температуры в отсутствие фазовых переходов:

$$\Delta c(T, T_0, \Delta T_0, \Delta H) = (\Delta H_0 / \pi^{1/2} \Delta T_0) \times \exp\{-[(T - T_0) / \Delta H_0]^2\}$$

— функция, описывающая скачок теплоемкости в точке фазового перехода; T_m — температура плавления; T_p — температура, соответствующая резкому повышению поглощения; ΔH_m — энергия плавления; ΔH_p — энергия фазового перехода при увеличении поглощения. Величина ΔT_0 характеризует ширину фазового скачка.

Для стекла в представленных здесь расчетах были выбраны следующие параметры [7,8,16]: $\rho(T) = 2.2 \text{ g/cm}^3$, $k = 0.02 \text{ W/cm} \cdot \text{K}$, $c_0(T) = 0.74 \text{ J/g} \cdot \text{K}$, $T_m = 1600^\circ\text{C}$, $T_p = 2000^\circ\text{C}$, $\Delta H_m = 142 \text{ J/g}$, $\Delta H_p = 142 \text{ J/g}$, $\Delta T_m = 100 \text{ K}$, $\Delta T_p = 100 \text{ K}$.

Граничные и начальные условия. Считалось, что излучение интенсивности I_0 вводится при $z = 0$: $I(t, 0, r) = I_0(r)$. При этом из (2) имеем

$$I(t, z) = I_0 \exp\left(-\int_0^z \alpha(T(t, z')) dz'\right).$$

Однако при численном интегрировании это выражение неудобно, поскольку содержит искомую величину $T(t, z)$. В конкретных расчетах распределение вводимой интенсивности по радиусу соответствовало „ступеньке“: $I_0(r) = I_0$ при $r < r_0$, $I_0(r) = 0$ при $r \geq r_0$.

Считалось, что сток тепла с поверхности световода отсутствует

$$\left. \frac{\partial}{\partial r} T(t, z, r) \right|_{r=r_1} = 0, \quad \left. \frac{\partial}{\partial z} T(t, z, r) \right|_{z=0, z=l} = 0.$$

Начальные условия соответствовали „ступеньке“: $T(t, z, r)|_{t=0} = T_0$ при $z < z_p$, $T(t, z, r)|_{t=0} = T_p$ при $z \geq z_p$. Здесь z_p — координата точки начального возмущения. В расчетах полагалось $T_0 = 20^\circ\text{C}$.

Алгоритм решения двумерной задачи

Для решения уравнения (1) построим пятиточечную конечно-разностную аппроксимацию этого уравнения по пространственным переменным второго порядка точности. Для этого будем использовать метод конечных разностей на равномерной сетке по z с шагом hz и на квазиравномерной сетке по r [16,17]

$$\psi(\alpha, t) = r_1 \frac{\ln^\alpha(1.01 + \alpha t) - \ln^\alpha(1.01)}{\ln^\alpha(1.01 + \alpha) - \ln^\alpha(1.01)}, \quad \text{где } t = \frac{i-1}{Nr-1}.$$

Тогда для внутреннего узла сетки (i, j) , $1 < i < Nr$, $1 < j < Nz$ получаем

$$c_P(T_{i,j}) \rho(T_{i,j}) \frac{\partial}{\partial t} T_{i,j} = P_{i,j}^1 T_{i,j-1} + P_{i,j}^3 T_{i,j+1} + P_{i,j}^2 T_{i-1,j} + P_{i,j}^4 T_{i+1,j} - (Pr_{i,j}^5 + Pz_{i,j}^5) T_{i,j} + \alpha(T_{i,j}) I_{i,j},$$

где

$$P_{i,j}^1 = \frac{K_{i,j-\frac{1}{2}}}{h_z^2}, \quad P_{i,j}^3 = \frac{K_{i,j+\frac{1}{2}}}{h_z^2}, \quad Pz_{i,j}^5 = P_{i,j}^1 + P_{i,j}^3,$$

$$P_{i,j}^2 = \frac{r_{i-\frac{1}{2}} K_{i-\frac{1}{2},j}}{hr_{i-1}(r_{i+\frac{1}{2}} - r_{i-\frac{1}{2}})r_i}, \quad P_{i,j}^4 = \frac{r_{i+\frac{1}{2}} K_{i+\frac{1}{2},j}}{hr_i(r_{i+\frac{1}{2}} - r_{i-\frac{1}{2}})r_i},$$

$$Pr_{i,j}^5 = P_{i,j}^2 + P_{i,j}^4,$$

$hr_i = r_{i+1} - r_i$, $r_{i+\frac{1}{2}}$ — середина интервала квазиравномерной сетки, которая вычисляется при помощи того же преобразования ψ , что и для построения самой сетки

$$r_{i+\frac{1}{2}} = \psi\left(\frac{i - \frac{1}{2}}{Nr - 1}\right).$$

Учитывая, что при $r = 0$ уравнение (1) принимает вид

$$c_P(T)\rho(T) \frac{\partial}{\partial t} T(t, z, r) = \frac{\partial}{\partial z} \left[k(T) \frac{\partial}{\partial z} (T(t, z, r)) \right] + 2 \cdot k(T) \frac{\partial^2}{\partial r^2} (T(t, z, r)) + \alpha(T) I(t, z, r),$$

и то, что на всех границах заданы условия Неймана, получаем следующие выражения для коэффициентов разностной схемы на соответствующих границах: для $i = 1, \dots, Nr$

$$P_{i,1}^1 = 0, \quad P_{i,1}^3 = \frac{2K_{i,\frac{1}{2}}}{h_z^2}, \quad P_{i,Nz}^1 = \frac{2K_{i,Nz-\frac{1}{2}}}{h_z^2}, \quad P_{i,Nz}^3 = 0;$$

для $j = 1, \dots, Nz$

$$P_{1,j}^2 = 0, \quad P_{1,j}^4 = \frac{4K_{1,j}}{hr_1^2},$$

$$P_{Nr,j}^2 = \frac{K_{Nr-\frac{1}{2},j}}{hr_{Nr-1}(r_{Nr} - r_{Nr-\frac{1}{2}})}, \quad P_{Nr,j}^4 = 0.$$

Таким образом, приходим к эволюционной задаче

$$c_P(T)\rho(T) \frac{\partial}{\partial t} T(t, z, r) = (\Lambda_z T)_{i,j} + (\Lambda_r T)_{i,j} + \alpha(T_{i,j}) I_{i,j},$$

где

$$(\Lambda_z T)_{i,j} = P_{i,j}^1 T_{i,j-1} + P_{i,j}^3 T_{i,j+1} - Pz_{i,j}^5 T_{i,j},$$

$$(\Lambda_r T)_{i,j} = P_{i,j}^2 T_{i-1,j} + P_{i,j}^4 T_{i+1,j} - Pr_{i,j}^5 T_{i,j},$$

для которой методом расщепления по пространственным переменным [18] построим абсолютно устойчивую неявную по времени схему первого порядка точности

$$c_P(T_{i,j}^n) \rho(T_{i,j}^n) \frac{T_{i,j}^{n+\frac{1}{2}} - T_{i,j}^n}{\Delta t} = (\Lambda_r T^{n+\frac{1}{2}})_{i,j},$$

$$c_P(T_{i,j}^n) \rho(T_{i,j}^n) \frac{T_{i,j}^{n+1} - T_{i,j}^{n+\frac{1}{2}}}{\Delta t} = (\Lambda_z T^{n+1})_{i,j} + \alpha(T_{i,j}^n) I_{i,j},$$

где n — номер шага по времени, Δt — шаг по времени.

Каждое из полученных трехточечных разностных уравнений легко решается с помощью метода факторизации (прогонки).

Результаты расчетов

Распространение волны поглощения. Характерное распределение температуры по оси световода при слабом и сильном лазерном излучении иллюстрирует рис. 1, 2. Как и следовало ожидать, имеет место пик температуры, продвигающийся навстречу лазерному

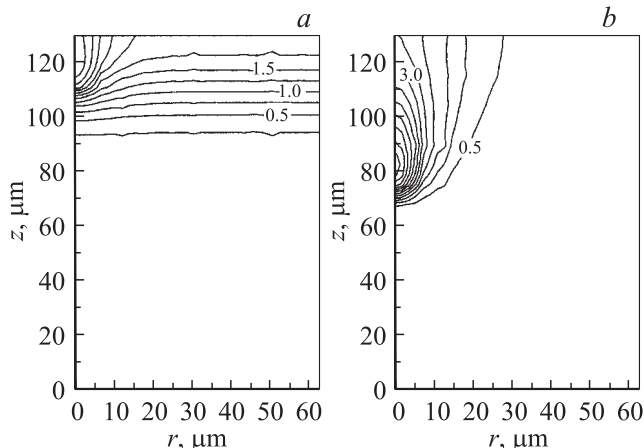


Рис. 1. Линии равного уровня температуры, проведенные с шагом 500°C . В разрывах линий указана температура в 1000°C . *a*: $I_0 = 1 \text{ MW/cm}^2$, $t = 80 \mu\text{s}$ ($P = 0.5 \text{ MW}$, $r_0 = 4 \mu\text{m}$); *b*: $I_0 = 4 \text{ MW/cm}^2$, $t = 210 \mu\text{s}$ ($P = 4 \text{ MW}$, $r_0 = 4 \mu\text{m}$).

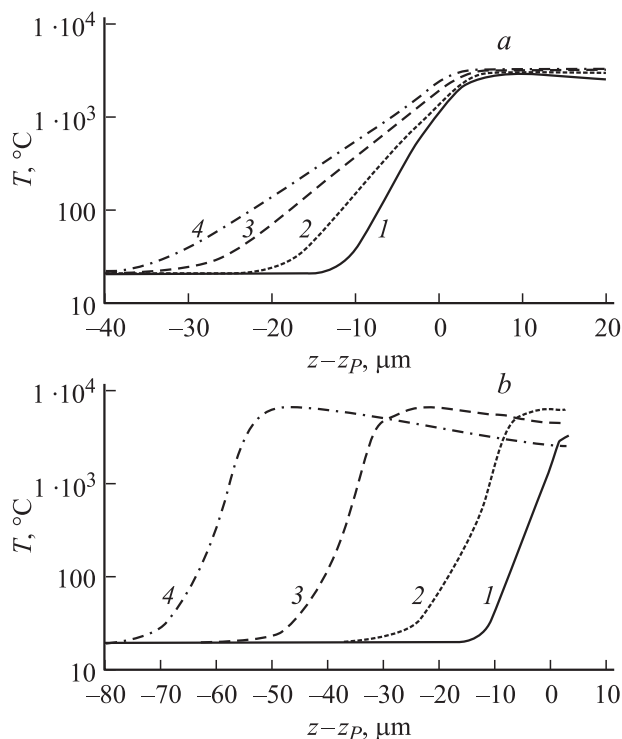


Рис. 2. Распределение температуры по длине $T(t, z, r = 0)$ в различные моменты времени для $I_0 = 1 \text{ MW/cm}^2$, $P = 0.5 \text{ MW}$, $r_0 = 4 \mu\text{m}$ (*a*) и $I_0 = 4 \text{ MW/cm}^2$, $P = 4 \text{ MW}$, $r_0 = 4 \mu\text{m}$ (*b*). $t, \mu\text{s}$: *a* — 10 (1), 38 (2), 66 (3), 80 (4); *b* — 10 (1), 90 (2), 170 (3), 210 (4).

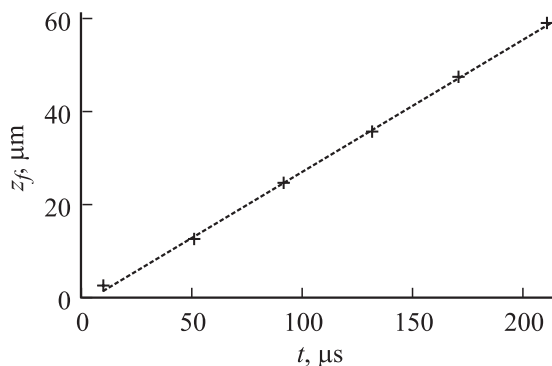


Рис. 3. Зависимость координаты z_f фронта тепловой волны пробега от времени t . Координата фронта z_f определяется как точка, в которой $T(t, z_f, r = 0) = T_p = 2000 \text{ K}$. Пунктир — $z_f(t) = v_f t + \text{const}$, где $v_f = 0.29 \text{ m/s}$. $I_0 = 4 \text{ MW/cm}^2$, $P = 4 \text{ MW}$, $r_0 = 4 \mu\text{m}$.

лучу. Спад температуры за пиком обусловлен падением интенсивности лазерного излучения за счет поглощения на длине порядка $\alpha_p^{-1} = 18 \mu\text{m}$ и теплопроводным охлаждением. При меньшей интенсивности излучения охлаждение более существенно, поэтому пик выражен резче.

Скорость фронта v_f ТВП определялась по зависимости от времени координаты фронта $z(t)$, определяемой равенством $T(t, r = 0, z_f) = T_p$ (рис. 2, 3). Зависимость $z_f(T)$ с хорошей точностью следовала линейной зависимости $z_f(t) = v_f t + \text{const}$, и по наклону $z_f(t)$ находилась v_f . Результаты расчетов представлены на рис. 4. Там же приведены экспериментальные данные [15].

Скорость ТВП. В теории горения для скорости распространения пламени было получено выражение, пропорциональное квадратному корню из удельной мощности энерговыделения [19]. Оно используется в теории распространения разрядов [2] и может быть в данном случае записано в виде

$$v_f = \sqrt{k\alpha_p I_0 / (T_p - T_0)} / (\rho c_p). \quad (3)$$

В работах [7,8] предложено несколько иное выражение для скорости фронта ТВП, которое можно записать в виде

$$v_f = v_{f0} \cdot \left(\sqrt{I_0 / I_{\text{ch}}} + 1 - 1 \right). \quad (4)$$

Здесь $V_{f0} = k\alpha_p / 2\rho c_p$ — характеризует линейное нарастание скорости с ростом интенсивности в слабых полях; $I_{\text{ch}} = k\alpha_p (T - T_0) / 4$ характеризует интенсивность лазерного излучения, при которой линейная зависимость переходит в корневую. Для параметров расчетов, представленных на рис. 4, имеем $v_{f0} = 0.034 \text{ m/s}$, $I_{\text{ch}} = 5.8 \cdot 10^{-3} \text{ MW/cm}^2$.

Выражение (4) при $I_0 \gg I_{\text{ch}}$ переходит в выражение (3). В выражении (4) учтены затраты энергии на разогрев смеси, которыми пренебрегается при получении (3). Проведенные нами расчеты скорости фронта v_f в отсутствие охлаждения согласуются с расчетами по

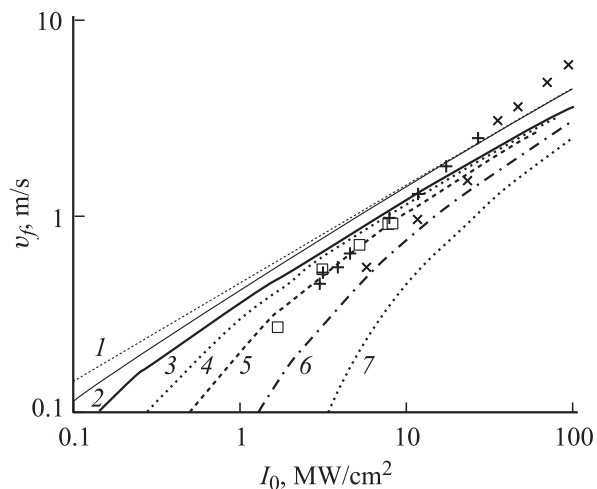


Рис. 4. Зависимость скорости распространения фронта ТВП от интенсивности лазерного излучения. Кривые — результаты расчетов при различных радиусах кора, значки — экспериментальные значения. 1 — корневая зависимость (3), 2 — зависимость (4); 3–7 — расчет при $r_0 = 50, 20, 10, 4, 2 \mu\text{m}$ соответственно. Использовались экспериментальные данные для $\text{SiO}_2\text{-GeO}_2$ волноводов внешним диаметром $125 \mu\text{m}$ [12]. \times — $\Delta n = 0.04$ — разница показателей преломления в центре и на периферии; $d = 3.3 \mu\text{m}$ — диаметр сердцевин, заполненной излучением; $+$ — $\Delta n = 0.009$, $d = 5.75 \mu\text{m}$; \square — $\Delta n = 0.0015$, $d = 11.05 \mu\text{m}$.

формуле (4), когда интенсивность много больше пороговой (см. ниже). Впрочем, в рассматриваемых условиях результаты, получаемые на основе выражений (3) и (4), близки (рис. 4). Более существенным оказывается влияние охлаждения.

Пороговые интенсивности. В серии расчетов была определена пороговая интенсивность I_{th} для различных значений r_0 (рис. 5). При $I_0 < I_{\text{th}}$ волна прогрета не возникает. Оценку порогового значения

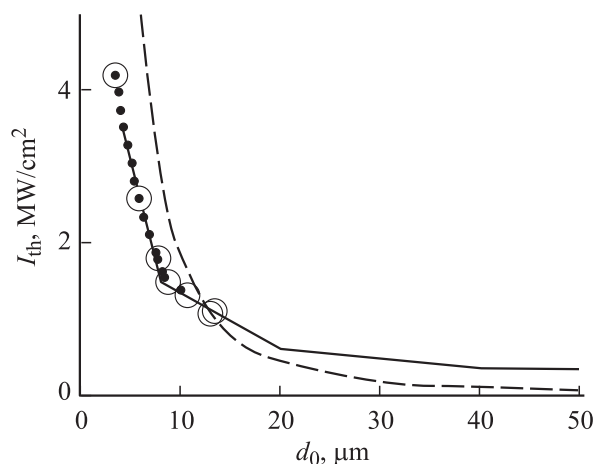


Рис. 5. Зависимость пороговых значений интенсивности от диаметра сердцевин световода d_0 . Значки — экспериментальные данные [12], сплошная кривая — результаты расчетов, штриховая — оценка (5).

интенсивности I_{th1} излучения можно получить, приравняв поглощаемую мощность эффективному $\alpha_P \cdot I_{\text{th1}}$ теплоотводу $(6(T_P - T_0) \cdot k) / r_0^2$. В результате имеем

$$I_{\text{th1}} = \frac{6(T_P - T_0) \cdot k}{r_0^2 \alpha_P}. \quad (5)$$

В численных расчетах пороговое значение определялось по значению скорости 0.1 m/s . Сопоставление формулы (5) с результатами численных расчетов и измерений пороговых значений интенсивности [12] проведено на рис. 5. Видно, что в рассмотренном диапазоне данных оценка отличается от расчетов примерно в два раза. В то же время результаты двумерного расчета хорошо согласуются с экспериментальными данными.

Заключение

Проведенные расчеты показали, что тепловая волна поглощения, бегущая по сердцевине световода, хорошо описывается нестационарным двумерным уравнением теплопроводности и стационарным уравнением для интенсивности лазерного излучения. Скорость ТВП при интенсивностях, намного превышающих пороговое значение, хорошо описывается известной из теории горения формулой и пропорциональна квадратному корню из интенсивности света. Пороговое значение интенсивности лазерного излучения по порядку величины оценивается из сравнения нагрева с теплоотводом. Полученное на основе расчетов пороговое значение интенсивности хорошо согласуется с экспериментальными данными.

Вычисленные зависимости скорости волны от интенсивности света и пороговые значения интенсивности согласуются с имеющимися экспериментальными данными.

Авторы благодарны Е.М. Дианову за постановку задачи, А.С. Бирюкову и И.А. Буфетову за обсуждение результатов, а также А.А. Фролову за предоставление результатов измерений в оцифрованном виде.

Список литературы

- [1] Аскарьян Г.А., Прохоров А.М., Чантурия Г.Ф., Шинцло Г.П. // ЖЭТФ. 1963. Т. 44. Вып. 6. С. 2180–2182. Прохоров А.М. Квантовая электроника. Избранные труды. М.: ИздАТ, 1996. С. 87–90.
- [2] Зеликин Н.В., Каск Н.Е., Радченко В.В., Федоров Г.М., Федорович О.В., Чопорняк Д.Б. // Письма в ЖТФ. 1991. Т. 4. Вып. 21. С. 1296–1299.
- [3] Каск Н.Е., Корниенко Л.С. // Изв. АН СССР. 1982. Т. 46. № 6.
- [4] Райзер Ю.П. Лазерная искра и распространение разрядов. М.: Наука, 1974. 308 с.
- [5] Kashyap R. // Proc. Internat. Conf. Lasers'87, Lake Tahoe (Nevada), 1987. P. 859–866.
- [6] Kashyap R., Blow K.J. // Electron. Lett. 1988. Vol. 24. N 1. P. 47–49.

- [7] *Hand D.P., Russel P.St.J.* // Opt. Lett. 1988. Vol. 13. N 9. P. 767–769.
- [8] *Hand D.P., Russel P.St.J.* // 14th ECOC. 1988. Pt 1. P. 111–114.
- [9] *Kashyap R., Sayles A., Cornwell G.F.* // Proc. SPIE. Vol. 2965. P. 586–591.
- [10] *Driscoll T.J., Calo J.M., Lawandy N.M.* // Opt. Lett. 1991. Vol. 16. N 13. P. 1046–1048.
- [11] *Dianov E.M., Mashinsky V.M., Myzina V.A., Sidorin Y.S., Streltsov A.M., Chickolini A.V.* // Sov. Lightwave Commun. 1992. N 2. P. 293–299.
- [12] *Дианов Е.М., Буфетов И.А., Фролов А.А., Плотниченко В.Г., Машинский В.М., Чурбанов М.Ф., Снопачин Г.Е.* // Квантовая электрон. 2002. Т. 32. № 6. С. 476–478.
- [13] *Davis D.D., Mettler S.C., DiGiovanni D.J.* // Proc. SPIE. 1997. Vol. 2714. P. 202–210.
- [14] *Davis D.D., Mettler S.C., DiGiovanni D.J.* // Proc. SPIE. 1997. Vol. 2966. P. 592–606. Opt. Lett. 2003. Vol. 28. N 12. P. 974–976.
- [15] *Бабичев А.П., Бабушкина Н.А., Братковский А.М.* и др. Физические величины / Под ред. И.С. Григорьева, Е.З. Мейлихова. М.: Энергоатомиздат, 1991. ISBN 5-283-04013-5.
- [16] *Калиткин Н.Н.* Численные методы. М., 1978.
- [17] *Sytsko Yu.I., Yakovlenko S.I.* // Laser Physics. 1996. N 6(5). P. 989–996.
- [18] *Марчук Г.И.* Методы расщепления. М.: Наука, 1988.
- [19] *Зельдович Я.Б., Франк-Каменецкий Д.А.* // Журн. физ. хим. 1938. Т. 12. Вып. 1. С. 100–105. Зельдович Я.Б. Избранные труды. Химическая физика и гидродинамика. М.: Наука, 1984. С. 226–232.